

文章编号:0253-9950(2006)04-0213-07

^{228}Ra - ^{228}Ac 发生器的制备

梁俊福, 刘继连

清华大学 核能和新能源技术研究院, 北京 102201

摘要:研究了以钍为原料制备 ^{228}Ra - ^{228}Ac 发生器的方法。在 2 mol/L HNO_3 的 $\text{Th}(\text{NO}_3)_4$ 溶液中, 先用 50% TBP/CCl₄ 萃取剂, 通过两次错流萃取, 除去约 75% 的钍, 再用 30% TRPO/煤油两次萃取, 钍的去污因子大于 10⁵, 在这个过程中, Ra 的回收率大于 99%。用自制的 $\alpha\text{-MnO}_2$ 研究了酸性条件下 MnO_2 对水溶液中 Ra 和钍系核素的静态吸附及对 Ra, Ac 的动态吸附。研究结果表明, 在室温下, 二氧化锰对 Ra, Ac 的吸附分配系数 K_d 随酸度的升高而下降, 除 Pb 外, 对钍及钍系其它核素不吸附。选择在 0.2 mol/L HNO_3 介质中吸附时, Ra-Ac 的分离效果最好, 分离因子接近 10⁴。用 0.2 mol/L HNO_3 解吸吸附柱上 Ra 衰变的 Ac 可得到很纯的 ^{228}Ac 溶液。给出了制备 ^{228}Ra - ^{228}Ac 发生器的工艺流程。

关键词: ^{228}Ra ; ^{228}Ac ; MnO_2 ; 萃取; 吸附

中图分类号: O614.823 文献标识码: A

Preparation of a ^{228}Ra - ^{228}Ac Generator

LIANG Jun-fu, LIU Ji-lian

Institute of Nuclear and New Energy Technology, Tsinghua University, Beijing 102201, China

Abstract: Preparation process of ^{228}Ra - ^{228}Ac generator from $\text{Th}(\text{NO}_3)_4$ solution is studied. Using extraction process, decontamination factor of Th is higher than 10⁵ and recovery of Ra is more than 99% while a 200 g/L Th-2 mol/L HNO_3 solution is extracted twice by 50% TBP/CCl₄ and twice by 30% TRPO/kerosene. The sorbent $\alpha\text{-MnO}_2$ is prepared and its adsorption properties for Ra and Th series nuclides are studied. Adsorption Partition coefficient of Ra and Ac decrease with increase of HNO_3 concentration. Separation factor (α) of Ra and Ac is near to 10⁴ in 0.2 mol/L HNO_3 solution. ^{228}Ra is adsorbed from 0.2 mol/L HNO_3 solution with 1 mL/h flow speed on a small MnO_2 column. The ^{228}Ac as a daughter product of ^{228}Ra is eluted by 0.2 mol/L HNO_3 solution.

Key words: ^{228}Ra ; ^{228}Ac ; MnO_2 ; extraction; adsorption

Ac 是锕系中的第一个元素, 它没有稳定的同位素。其中短半衰期同位素 ^{228}Ac ($T_{1/2} = 6.15 \text{ h}$) 在工业生产^[1]、核医药^[2]及科学方面都有着重要的意义。由图 1 所示的 ^{232}Th 衰变链看出, ^{228}Ac 是 Th 系(^{232}Th)的子体, 一般从存放 15 a 以

上的老钍中提取。为了从 Th 中提取 Ac, 本文在制备纯 ^{228}Ra 的基础上, 大约经过 2 d 使 ^{228}Ra - ^{228}Ac 在吸附柱上达到平衡, 再把 ^{228}Ac 淋洗下来, 这样就制备出可不断产生 ^{228}Ac 的发生器——Ra-Ac 母牛。

在水溶液中,Ac 以稳定的三价存在,Ac 的提取一般有溶剂萃取法^[3-4]、离子交换法^[5]以及萃淋树脂法等。本文以老钍为原料,采用溶剂萃取和 MnO_2 无机离子交换相结合,制备 ^{228}Ra - ^{228}Ac 发生器。

在酸性溶液中可用于分离钍的萃取剂有磷酸三丁酯(TBP)、二(2-乙基己基)磷酸(HDEHP)、1-苯基-3-甲基-4-苯甲酰基吡唑酮-5(PMBP)、三

烷基氧膦(TRPO)等。TRPO 是在酸性溶液中萃取三价、四价和六价锕系元素的优良萃取剂^[6],在 0.5~2.0 mol/L HNO_3 介质中,30% TRPO/煤油萃取 $\text{Th}(\text{IV})$ 、 $\text{Np}(\text{IV})$ 、 $\text{Pu}(\text{IV})$ 的分配比都大于 10^3 ,其萃合物分子式为: $\text{An}(\text{NO}_3)_4 \cdot 2\text{TRPO}$ 。为此本文选择 TRPO 作为分离钍的萃取剂,为了克服其萃取容量有限的问题,预先用 TBP 萃取法进行钍的分离。

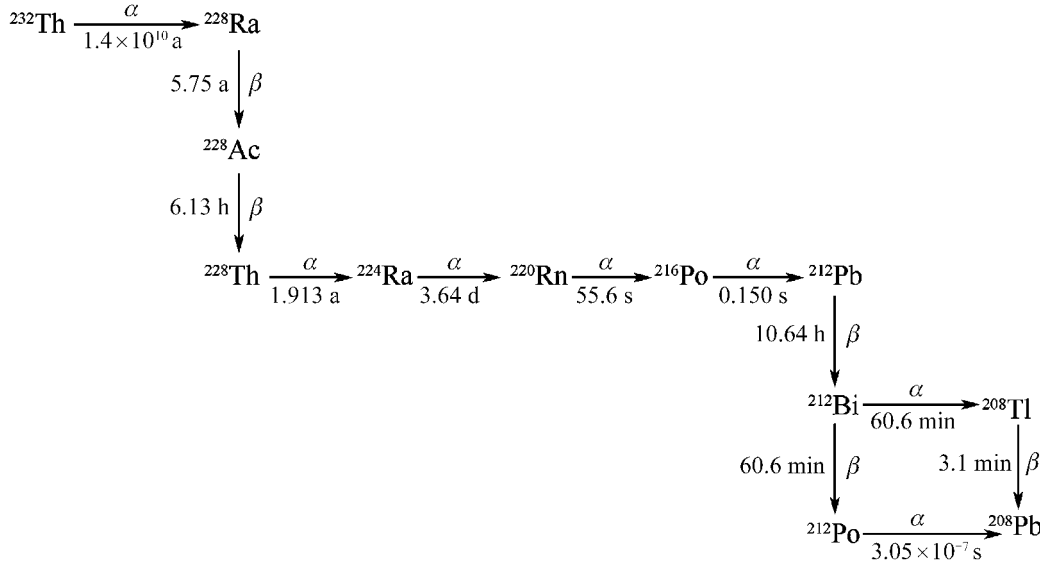


图 1 ^{232}Th 衰变图

Fig. 1 Decay chain of ^{232}Th

1 实验部分

1.1 仪器与试剂

硝酸钍($\text{Th}(\text{NO}_3)_4 \cdot 4\text{H}_2\text{O}$),分析纯,上海跃龙化工厂产品,存放 30 a 以上,恒重法分析其吸附水约 8%,在 100~105 °C 下烘干恒重后,含量大于 99.5%。由图 2 的 γ 能谱分析可知, γ 谱皆为处于平衡态之钍系核素。TBP,分析纯,北京化工厂产品;TRPO(三烷基氧膦),商品名 Cyanex923,加拿大 Cytec INC 公司产品;煤油为锦州炼油厂 240# 加氢煤油,使用前经蒸馏提取 180~220 °C 馏分。

配制 50% TBP/CCl₄ 及 30% TRPO/煤油,分别用 50 g/L 碳酸钠和 1 mol/L HNO_3 等体积洗涤 3 次,然后用去离子水洗涤至中性。其它试剂皆为分析纯。

γ 谱仪,美国 ORTEC 公司;IRIS Advantage 型等离子体光谱仪,美国 Thermo Jarrell Ash 公司;SHA-B 恒温振荡器,常州国华电器有限公司;微量取样器,1 000 μL ,100 μL ,芬兰;带水夹套的 $\phi 5\text{ mm} \times 200\text{ mm}$ 玻璃离子交换柱,北京玻璃厂。

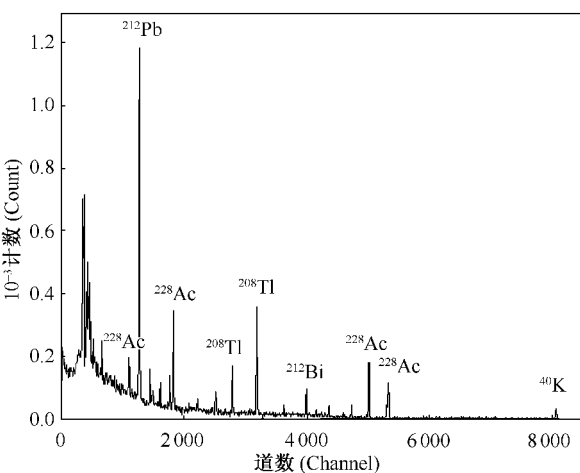
1.2 实验方法

1.2.1 Ge(Li)- γ 谱仪的刻度 用 ^{241}Am , ^{137}Cs , ^{60}Co 和 $^{152,154}\text{Eu}$ 源的 γ 光电峰能量进行了 γ 谱仪的能量刻度。其能量 $E(\text{keV})$ 和道数(C)的关系式为: $E = 0.1796 C + 11.35$ 。 γ 谱仪的效率刻度用 ^{241}Am , ^{137}Cs , ^{60}Co 和 $^{152,154}\text{Eu}$ 的标准溶液完成。在 120~1 500 keV 能量范围,其效率 η 和能量 E (keV) 的关系式为:

$$\lg \eta = -0.8423 \lg E + 0.5558,$$

$$R^2 = 0.9959.$$

1.2.2 分析方法 钍在 4 mol/L HCl 介质中用

图2 钉样品的 γ 谱Fig. 2 γ -spectrum of Th family

偶氮胂Ⅲ分光光度法分析,波长660 nm,2 cm比色皿,分析范围0.1~1.0 $\mu\text{g}/\text{mL}$ 。有机相中的钍用4 mol/L HCl等体积反萃2次后分析。钍含量的分光光度法和 γ 谱仪法(通过²²⁸Ac)分析结果比较表明,两者的误差在5%以内。²²⁸Ra的量由分析平衡后其子体²²⁸Ac的活度确定。²²⁸Ac,²¹²Pb,²¹²Bi,²⁰⁸Tl通过 γ 谱仪分析²¹²Pb(1 265道,239 keV),²²⁸Ac(1 820道,338 keV),²¹²Bi(3 985道,727 keV),²⁰⁸Tl(3 185道,583 keV)的光电峰面积并进行效率校正后确定。由于²²⁸Ac的半衰期较短,实验中要进行半衰期校正。Mn的分析用等离子光谱仪完成。

1.2.3 MnO₂颗粒的制取 结晶型MnO₂是一种高效的Ra吸附剂。参照文献[2],[7]的方法制备。取0.5 mol/L KMnO₄-1 mol/L H₂SO₄溶液500 mL加入到500 mL 1 mol/L MnSO₄-1 mol/L H₂SO₄溶液中。加热至60 °C,沉淀陈化过夜后用6 mol/L HNO₃(约100 mL)洗涤,然后用水洗至中性。沉淀在70 °C下干燥3 d,磨碎过筛,收集0.1~0.5 mm颗粒(约15 g),用去离子水洗涤几次后,装入锥形瓶中备用。

1.2.4 钉的分离 取255 g Th(NO₃)₄·4H₂O(存放30 a以上),加入2 mol/L HNO₃,搅拌溶解后过滤,调至500 mL, Th的质量浓度约200 g/L。Th溶液置于3 L分液漏斗中,加入等体积50% TBP/CCl₄,萃取10 min,萃余液再次用50% TBP/CCl₄等体积萃取。分析Th,Pb,Bi,Ac在两相中分配。萃余液加入等体积30%TRPO/煤

油,萃取2次,分析Th,Pb,Bi,Ac在两相中分配。

1.2.5 ²²⁸Ra-²²⁸Ac发生器的制备 取制备的MnO₂颗粒约1 g,装入φ5 mm×200 mm的玻璃柱中,吸附床高50 mm,柱体积约1 mL。去除钍后的含Ra水溶液体积太大,在电炉上浓缩蒸干后用0.2 mol/L HNO₃加热溶解,体积约20 mL。用此溶液进行了不同酸度不同流速下的吸附实验,确定用0.2 mol/L HNO₃及1 mL/h速度吸附Ra。²²⁸Ra被完全吸附。

²²⁸Ac在48 h后,与²²⁸Ra基本达到平衡,用6 mL 0.2 mol/L HNO₃溶液淋洗,淋洗速度3 mL/h。淋洗液即为²²⁸Ac溶液。

2 结果和讨论

2.1 50% TBP/CCl₄对钍及子体的萃取

200 g/L Th在2 mol/L HNO₃溶液中,常温下用50%TBP/CCl₄等体积错流萃取2次。Th浓度的分析表明,两次萃取时,TBP分别萃取了约75.0 g/L和73.1 g/L的Th,其分配比分别为0.60,1.40,由于Th浓度很高,第一次的分配比较低,提高酸度可以有限提高TBP的萃取能力,但酸度过高,则易出现三相,考虑到与下一步萃取的衔接,确定在2 mol/L HNO₃溶液中萃取。通过Ge(Li) γ 谱仪分析不同时间²¹²Pb,²¹⁸Bi,²⁰⁸Tl,²²⁸Ac在水相和有机相中的计数,确定其分配情况。实验结果表明,50%TBP/CCl₄萃取2次后,73%以上的Th被去除,99.9%的Ra,Ac,Pb,Bi,Tl留在水相中,萃后TBP有机相合并后,用水反萃2次,浓缩反萃水溶液,回收Th(NO₃)₄·4H₂O结晶。

2.2 30%TRPO/煤油对钍及子体的萃取

在TBP萃余水溶液加入等体积30%TRPO/煤油错流萃取2次,Th浓度的分析表明,2次萃取后,TRPO分别萃取了约50.4 g/L和2.04 g/L的Th,其分配比分别为24.7和大于1000。 γ 谱分析表明,通过TRPO萃取,Th的去污因子超过10⁵,99.9%以上的Ra,Ac,Pb和Bi等仍留在水相中,此水相溶液放置20 d以上,在 γ 谱上基本看不到Tl,Pb和Bi的 γ 光电峰,此水相为²²⁸Ra-²²⁸Ac水溶液。将萃后TRPO有机相合并,用0.6 mol/L H₂C₂O₄溶液反萃2次,800 °C以上灼烧反萃后的沉淀2 h,以回收ThO₂。

2.3 MnO₂对Ra和钍系核素的吸附

二氧化锰独特的结构和物理化学性质,使其

具有良好的吸附性能。二氧化锰按结构通常分为层状结构和隧道形结构,按晶型分有 α , β , γ , δ 型4种形态,它们的吸附性能也不同。本文合成的二氧化锰为类似黑锰矿(cryptomelane)的 α 型 MnO_2 。它为体心立方晶型,隧道结构,它容易吸附离子半径在0.135~0.155 nm的离子,如 K^+ , NH_4^+ , Rb^+ , Ba^{2+} 和 Ra^{2+} 等^[7]。

用静态法研究了常温下((22±1)℃)二氧化锰对萃取后溶液中Ra的吸附。取2 mL Ra溶液,用0.2 mol/L HNO_3 稀释到20 mL,加入100 mg二氧化锰,搅拌,通过分析Ra-Ac平衡后Ac计数的变化,计算二氧化锰对Ra吸附随搅拌时间的关系。实验表明,搅拌8 h后,二氧化锰对Ra的吸附基本达到平衡。提高温度对平衡时间影响不大,为此设定平衡时间为室温下12 h。

取5 mL Ra溶液,加入25 mg二氧化锰,搅拌12 h,二氧化锰对Ra的吸附分配系数 K_d 随 HNO_3 浓度的变化关系列入表1。Ra-Ac溶液用较多的二氧化锰吸附除Ra后得到Ac的溶液,研究了Ac的吸附分配系数 K_d 随 HNO_3 浓度的关系,结果一并列入表1。表中同时给出了二氧化锰对Ra,Ac的分离因数 α :

$$K_d = (C_i - C_{eq})V/C_{eq} \cdot m.$$

表1 二氧化锰对Ra,Ac的吸附分配系数(K_d)和分离因数(α)

Table 1 K_d and α of Ra and Ac in MnO_2 - HNO_3 system

No.	$c(HNO_3)/(mol \cdot L^{-1})$	$K_d(Ra)/(mL \cdot g^{-1})$	$K_d(Ac)/(mL \cdot g^{-1})$	$\alpha(Ra/Ac)$
1	0.01		150	
2	0.1	>10 ⁴	5.0	≈2 500
3	0.2	8 700	0.9	9 700
4	0.5	980	0.8	1 230
5	0.8	750	0.9	830
6	1.0	250		
7	2.0	80		
8	5.0	12		

$$\alpha = K_d(Ra)/K_d(Ac).$$

式中, C_i, C_{eq} 分别表示初始及平衡时溶液中Ra或Ac的计数; V 为溶液体积,mL; m 为二氧化锰质量,g。

实验表明,二氧化锰对Ra,Ac的吸附分配系数 K_d 随酸度升高而下降,这与文献报道的结果基本相同^[2]。从分离因数看,选择在0.2 mol/L HNO_3 介质下吸附Ra和解吸Ac是合适的。

本文还研究了二氧化锰对钍及钍系子体核素的吸附分配系数与 HNO_3 浓度的关系。结果表明,二氧化锰对Pb有吸附,对Th,Bi,Tl等基本不吸附,但由于原始钍溶液中钍的量是镭的2.4×10⁹倍,所以用二氧化锰从钍原始溶液中吸附Ra时,由于盐浓度的影响^[8],Ra吸附能力大大降低,这就是开始要除钍的原因。

2.4 MnO_2 吸附柱对Ra的吸附

MnO_2 吸附柱的水力学研究结果表明,用自制的 MnO_2 颗粒装柱,柱高分别为2,5,7,10,15和20 cm,用0.2 mol/L HNO_3 观察流动情况,发现柱高大于10 cm时,由于阻力大,以致液体无法流动;在7 cm时,流速很慢;5 cm时流速可达10柱体积/h。为此,选择柱高为5 cm,床体积约1 mL, MnO_2 湿颗粒约为1.0 g。

0.2 mol/L HNO₃ 的 Ra-Ac 溶液在常温 ((22±1)℃)下进行了 MnO₂ 吸附柱对 Ra 的吸附实验。实验结果表明,MnO₂ 吸附柱对 Ra 的吸附很慢,吸附流速为 10, 8, 5, 3 mL/h 时, 流出液中有很多 Ra 穿透。流速越大, 穿透率越高, 在 10 mL/h 时, 穿透率约为 80%, 随着流速变低, 穿透率降低, 小于 2 mL/h 时基本不穿透。为此选择了 MnO₂ 吸附柱对 Ra 的吸附流速为 1 mL/h。在此流速下, 约 3 mL 浓缩的 0.2 mol/L HNO₃

的 Ra-Ac 溶液上柱,Ra 被完全吸附。

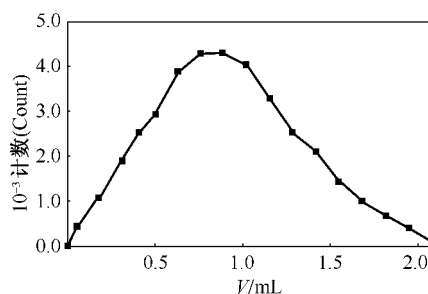
2.5 MnO₂ 吸附柱对 Ac 的解吸

²²⁸Ac 在 48 h 后,与²²⁸Ra 基本平衡,用 0.2 mol/L HNO₃ 溶液淋洗,淋洗速度 3 mL/h。测量时间 1 000 s。表 2 给出了淋洗液²²⁸Ac 在 338 keV 光电峰处的 γ 分析结果,及测量时间和取样体积校正后的计算结果,²²⁸Ac 淋洗曲线示于图 3。从图 3 计算得到,选择在 0.5~1.2 mL 间的活度占总解吸活度的 80%以上。

表 2 淋洗液(0.1 mL)中²²⁸Ac(338 keV 光电峰)的 γ 分析及计算结果

Table 2 Elution of ²²⁸Ac

V _{sam} /mL	V _{accu} /mL	计数(Count)	计数(Count) _{COT}	计数(Count)
0.113	0.113	513	513.00	453.98
0.130	0.243	1 361	1 425.38	1 096.45
0.129	0.372	1 694	2 451.89	1 900.69
0.065	0.437	1 079	1 635.62	2 516.34
0.129	0.566	2 379	3 787.12	2 935.76
0.129	0.695	2 107	5 015.76	3 888.18
0.131	0.826	2 484	5 615.50	4 286.64
0.132	0.958	2 642	5 687.42	4 308.65
0.131	1.089	2 571	5 284.59	4 034.04
0.132	1.221	2 217	4 327.53	3 278.43
0.133	1.354	1 802	3 367.72	2 532.12
0.129	1.483	1 521	2 692.12	2 086.93
0.132	1.615	1 139	1 904.11	1 442.51
0.135	1.750	990	1 360.78	1 007.98
0.134	1.884	694	896.09	668.73
0.135	2.019	446	548.37	406.20
0.126	2.145	110	132.34	105.03
0.133	2.278	53	62.90	47.29

图 3 ^{228}Ac 的淋洗曲线Fig. 3 Elution curve of ^{228}Ac

2.6 ^{228}Ac 溶液的放射性纯度分析

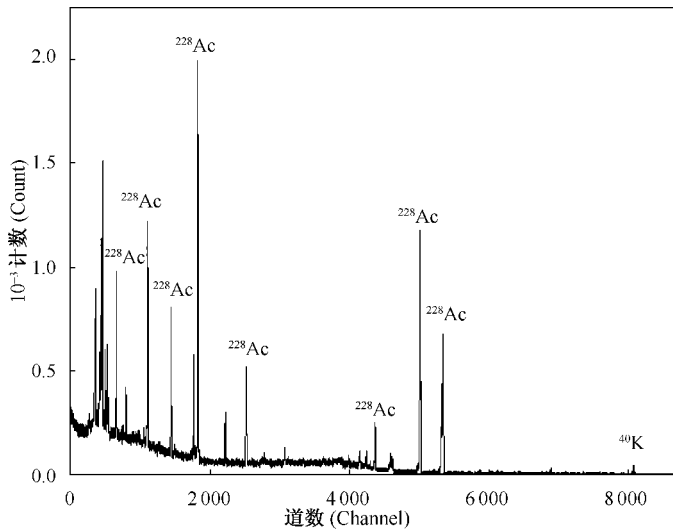
对 Ra-Ac 发生器解吸的 ^{228}Ac 溶液进行了 γ 谱分析并示于图 4。从图 4 看到很纯的 ^{228}Ac 能谱。 ^{228}Ac 溶液半衰期跟踪分析结果列入表 3。根据分析结果在半对数表上作图,求得半衰期 $T_{1/2}=6.20\text{ h}$,这与文献[2]所给 6.15 h 很接近。

半衰期高于文献值的原因是少量的 ^{228}Ra 被淋洗下来。把解吸的 ^{228}Ac 溶液放置 72 h 以上后再进行 γ 谱分析,此时 ^{228}Ac 净计数为 1 000,它是 $^{228}\text{Ra}-^{228}\text{Ac}$ 平衡时 ^{228}Ac 总量的 0.5%,由此得到一次淋洗时 Ra 的流失约 0.5%。文献[2]认为这是 Ra-Ac 发生器的使用次数有限的缘故。

对 Ra-Ac 发生器解吸的 ^{228}Ac 溶液进行了 Th 和 Mn 的分析,Th 比色分析结果在灵敏度以下,即小于 0.1 mg/L。ICP 分析 Mn 的含量为 37.99 mg/L。表明 MnO_2 在 0.2 mol/L HNO_3 溶液中有少量溶解,虽不影响 ^{228}Ac 溶液的使用,但造成 Ra 的流失,是一个缺点。

表 3 ^{228}Ac 的半衰期分析Table 3 Decay of ^{228}Ac

t/h	0	3.1	6.13	12
计数(Count)	68 499	48 232	34 454	17 887

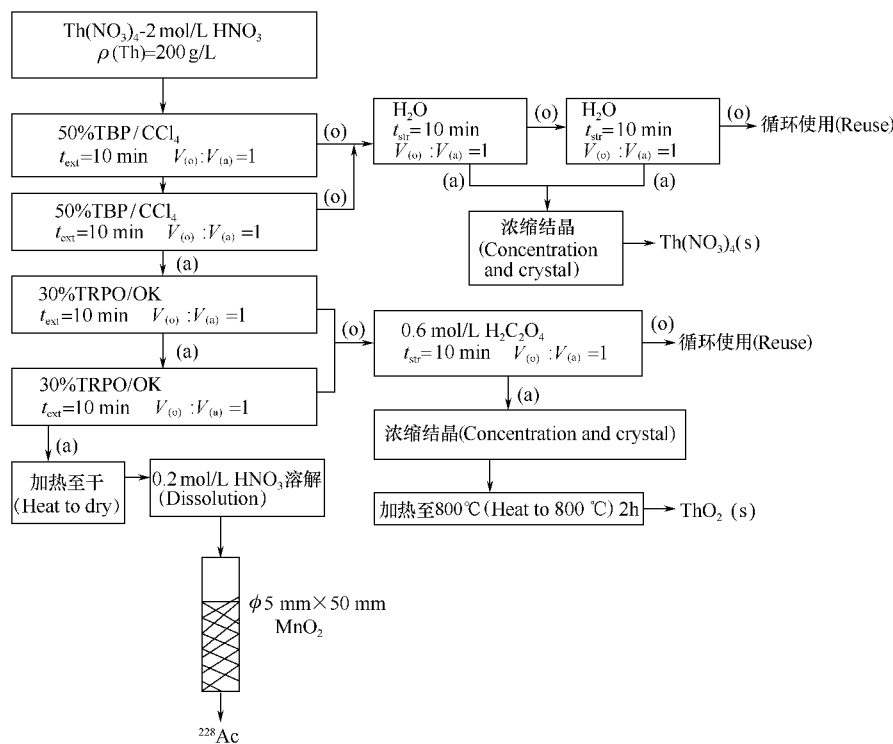
图 4 ^{228}Ac 的 γ 谱Fig. 4 γ -spectrum of ^{228}Ac

3 制备 $^{228}\text{Ra}-^{228}\text{Ac}$ 发生器的工艺流程

制备流程示于图 5。

在 2 mol/L HNO_3 -200 g/L $\text{Th}(\text{NO}_3)_4$ 介质中,先用 50% TBP/CCl₄ 萃取剂,通过两次错流萃取,除去约 75% 的钍(若钍的质量浓度小于 50 g/L,则可以省去这一过程),再用 30% TRPO/煤油两次萃取,萃余液蒸干后用 0.2 mol/L

HNO_3 加热溶解即为 Ra-Ac 溶液。萃取过程中钍的去污因子大于 10^5 ,Ra 的回收率大于 99%。用自制的 0.1~0.5 mm 的 $\alpha\text{-MnO}_2$ 颗粒装柱($\phi 5\text{ mm} \times 50\text{ mm}$),在室温下,以 1 mL/h 的流速吸附,Ra 被完全吸附。吸附柱上 Ra 衰变的 Ac 用 0.2 mol/L HNO_3 以 3 mL/h 流速解吸,收集 0.5~1.2 mL 解吸液,即得到很纯的 ^{228}Ac 溶液。

图 5 ^{228}Ra - ^{228}Ac 发生器的制备流程Fig. 5 Preparation process of ^{228}Ra - ^{228}Ac generator

参考文献：

- [1] 朱永睿,徐景明,张伟,等. 氧化镧中放射性的去除[J]. 核化学与放射化学,1987,9(2):80-86.
- [2] Włodzimirska B, Bartos B, Bilewicz A. Preparation of ^{225}Ac and ^{228}Ac Generators Using a Cryptomelane Manganese Dioxide Sorbent[J]. Radiochim Acta, 2003,91:553-556.
- [3] Szeglowski Z, Kubica B. Extraction of Actinium With Di(2-Ethylhexyl) Phosphoric Acid From Hydrochloric and Nitric Acid Solution[J]. J Radioanal Nucl Chem Lett, 1991,153:67.
- [4] 徐岩冰,杨维凡,袁双贵,等. 液-液萃取从Th中分离Ac[J]. 科学技术与工程,2005,5(14):984-986.

- [5] 刘广山,黄奕普,陈性保. 锰纤维富集-γ能谱法测定海水中的 ^{224}Ra , ^{226}Ra 和 ^{228}Ra [J]. 海洋学报,1999,21(5):65-71.
- [6] 焦荣洲,王守忠,樊诗国,等. 用三烷基(C6—C8)氧膦(TRPO)从强放废液中提取锕系元素,镧系元素的研究[J]. 核化学与放射化学,1985,7(2):65-69.
- [7] Bartos B, Bilewicz A, Delmas R, et al. Synthesis and Ion Exchange Properties of Various Forms of Manganese Dioxide for Cations of the I and II Groups[J]. Solv Extr Ion Exch, 1997,15:533.
- [8] 邹卫华,刘晨湘,江利,等. 二氧化锰对铜、铅离子的吸附研究[J]. 郑州大学学报(工学版),2005,26(3):15-19.